

The lanthanide tetrad effect in granitoid of the Alvand Intrusive Complex, Hamedan

Farhad Aliani *, Zahra Sabouri Ranjbar and Mirmoahmmad Miri

Department of Geology, Faculty of Sciences, Bu-Ali Sina University, Hamedan, Iran

Abstract

The Alvand Intrusive Complex (AIC) is located in an area between Hamedan and Tuyserkan cities, and crops out over an area 400 km² intruding the Sanandaj-Sirjan plutono-metamorphic belt. The emplacement age of the AIC is constrained to Upper to Middle Jurassic, based on U-Pb zircon geochronologic data. Lanthanide tetrad effects are often observed in REE patterns in the granites of the Alvand. The degree of the tetrad effect (TE1,3) is estimated and plotted vs. K/Rb, Sr/Eu, Eu/Eu*, Y/Ho, and Zr/Hf. The diagrams reveal that the tetrad effect develops parallel to granite evolution, and significant tetrad effects are strictly confined to highly differentiated samples. The strong decrease of Eu concentrations in highly evolved rocks suggests that Eu fractionates between the residual melt and a coexisting aqueous high-temperature fluid.

Keywords: Lanthanide tetrad effects, Granite, Aland, Sanandaj-Sirjan belt

* aliani@basu.ac.ir

Copyright©2016, University of Isfahan. This is an Open Access article distributed under the terms of the Creative Commons Attribution License (<http://creativecommons.org/licenses/BY-NC-ND/4.0>), which permits others to download this work and share it with others as long as they credit it, but they cannot change it in any way or use it commercially.

بررسی اثر تتراد لانتانید در گرانیتوییدهای توده نفوذی الوند (همدان)

فرهاد آلیانی*

گروه زمین‌شناسی، دانشکده علوم پایه، دانشگاه بوعلی‌سینا، همدان، ایران

چکیده

توده نفوذی الوند در پهنه پلوتونیک-دگرگونی سنندج-سیرجان (بین شهرهای همدان و تویسرکان) و در گسترهای نزدیک به ۴۰۰ کیلومترمربع برونزد دارد. برپایه داده‌های سن-سننجی U-Pb زیرکن، سن جایگیری این توده ژواراسیک میانی-پسین به دست آمده است. اثرات تتراد لانتانید بیشتر در الگوهای REE مربوط به گرانیتوییدهای الوند دیده می‌شود. درجه اثر تتراد (TE_{1,3}) ارزیابی شده و در برابر نسبت‌های Y/Ho, K/Rb, Zr/Hf, Eu/Eu*, Sr/Eu و Eu/Eu* ترسیم شده است. این نمودارها نشان می‌دهند که اثر تتراد موازی با روند تحول گرانیت پیش روی می‌کند؛ به گونه‌که در نمونه‌های جدایش یافته‌تر اثر تتراد چشمگیری دیده می‌شود. در این نمونه‌ها، آنومالی منفی Eu در الگوی REE بهنجار شده در برابر ترکیب کندریت، معمولاً برپایه جدایش فلدسپار توضیح داده می‌شود؛ هرچند بررسی‌های دیگر گویای آن است که جدایش Eu میان مذاب به‌جامانده و یک سیال آبدار دما بالای همیافت با آن می‌تواند تمرکز Eu در سنگ‌های دیگر گویای آن را بسیار کاهش بدهد.

واژه‌های کلیدی: اثرات تتراد لانتانید، گرانیتویید، الوند، پهنه سنندج-سیرجان

گروه در یک الگوی توزیع بهنجار شده در برابر ترکیب کندریت است. هر گروه یک تتراد نامیده می‌شود و این گروه‌ها عبارتند از: تتراد اول = Nd-Ta-Pm-La؛ تتراد دوم = Gd-Ta-Lu؛ تتراد سوم = Ho-Gd-Er-Lu؛ تتراد چهارم = La-Lu-Er و تتراد پنجم = W-M. در هر گروه از عناصر الگوهای کوثر (محاذب) و کاو (مقعر)، به ترتیب الگوهای M-W-شکل و شکل Masuda *et al.*, 1987.

مقدمه

به تازگی بررسی‌های فراوانی بر روی یک نوع خاص جدایش (تفریق) عناصر خاکی کمیاب با نام «اثر تتراد» Siekierski و Fidelis (۱۹۶۶) و همکاران (۱۹۶۹) با دیدن الگوهای ضرایب توزیع REE مایع-مایع در فازهای آبدار و آلی، اثر تتراد عناصر کمیاب را پیشنهاد دادند. اثر تتراد، رده‌بندی ۱۵ عنصر لانتانیدی به چهار

* aliani@basu.ac.ir

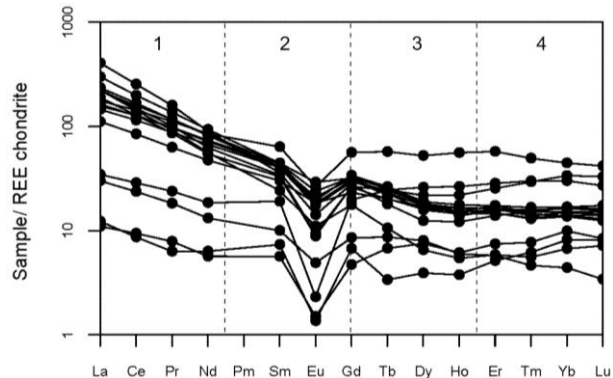
Copyright©2016, University of Isfahan. This is an Open Access article distributed under the terms of the Creative Commons Attribution License (<http://creativecommons.org/licenses/BY-NC-ND/4.0>), which permits others to download this work and share it with others as long as they credit it, but they cannot change it in any way or use it commercially.

جغرافیایی 48° تا 45° خاوری جای دارد (شکل ۲).
سیاری از پژوهشگران از دیدگاه‌های گوناگون به بررسی این توده پرداخته‌اند (مانند: Valizadeh and Cantagrel, 1975; Torkian, 1995; Sepahi, 1999; Shahbazi et al., 2010; Sabouri, 2010; Aliani et al., 2012).

توده نفوذی الوند بیشتر از سنگ‌های دگرگونی درجه کم تا درجه بالا و گرانیت‌وییدها ساخته شده است. توده نفوذی الوند دارای سنگ‌های بازیک تا اسیدی گوناگونی است و در برخی بخش‌ها دایک‌های آپلیتی و پگماتیتی در آن نفوذ کرده‌اند. سن جایگیری توده نفوذی الوند برپایه سن‌سنجدی U-Pb زیرکن، ۱۶۷-۱۵۳ میلیون سال پیش به‌دست آمده است (Shahbazi et al., 2010).

برپایه بررسی‌های Sabouri (۲۰۱۰) و Aliani (۲۰۱۲) و همکاران (۲۰۱۲)، درجه اشباع‌شدگی از آلومین در گرانیت‌وییدهای الوند، متألومین تا پرآلومین است. برپایه بررسی‌های کانی‌شناسی، سنگ‌شناسی و زمین‌شیمیایی، نمونه‌های سنتگی الوند ویژگی‌های گرانیت‌های نوع I و H را نشان می‌دهند. این پژوهش بر روی گرانیت‌های نوع S متتمرکز شده است؛ زیرا:

۱. این گروه از گرانیت‌ها در توده نفوذی الوند در برابر گروه‌های دیگر فراوان‌تر هستند؛
۲. در میان گرانیت‌وییدهای گوناگون الوند، گرانیت‌های نوع S اثر تتراد کالک‌آلکالن پتاسیم بالا و کالک‌آلکالن هستند، و ویژگی‌های نفوذی‌های کمان ماقمایی وابسته به حاشیه فعل قاره‌ای را نشان می‌دهند. تهی‌شدگی از عناصر Ti, Ta, Nb, Y, Hf, Zr و Th و غنی‌شدگی از عناصر K, Cs, Rb و LREE نشان‌دهنده پیدایش این سنگ‌ها در پهنه کمانی وابسته به فورانش پوسته اقیانوسی نشوتیس به زیر پهنه سنندج-سیرجان است.



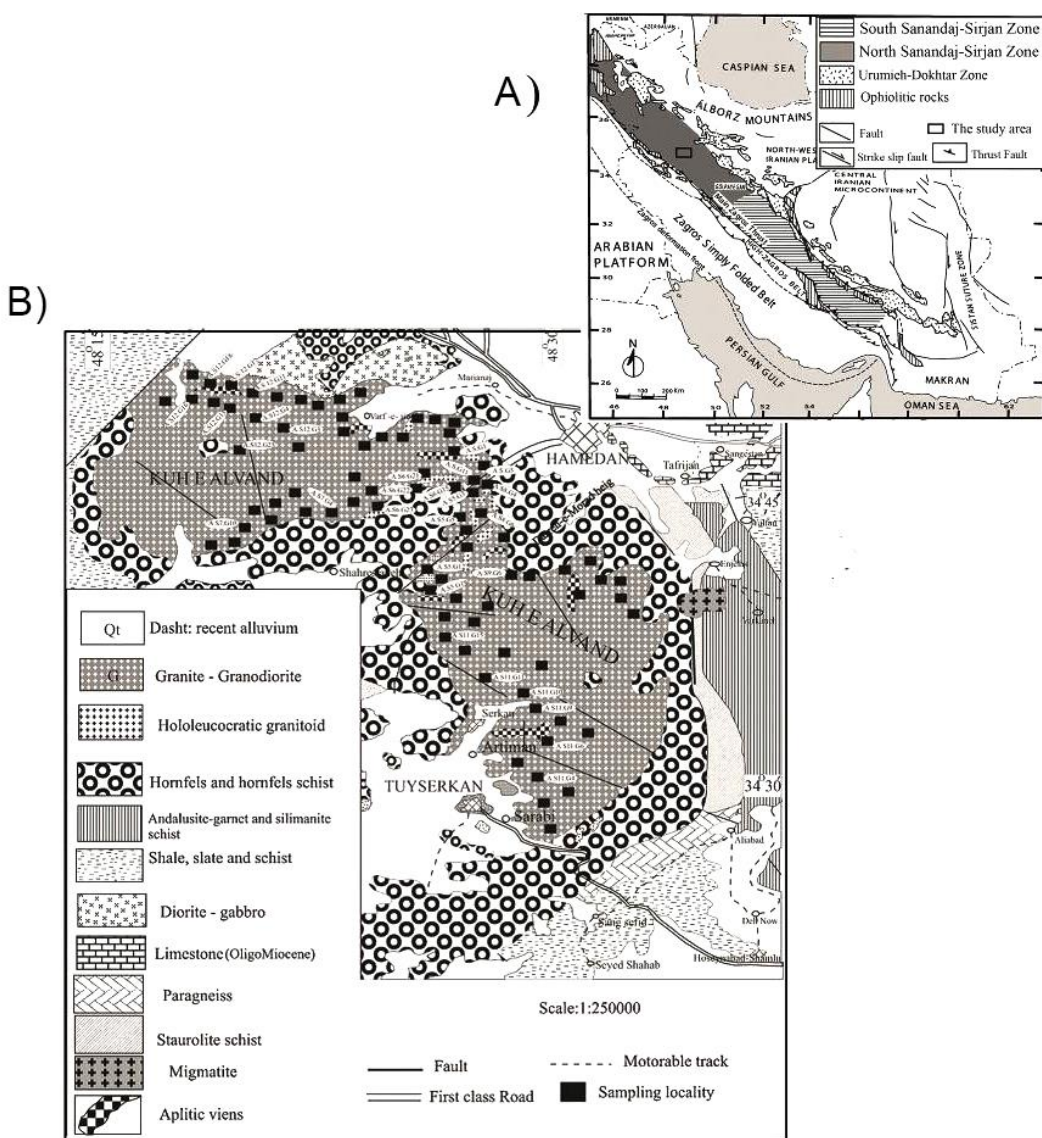
شکل ۱- الگوی REE بهنجار شده در برابر ترکیب کندریت برای نمونه‌های گرانیتی الوند همدان (بهنجار شده در برابر داده‌های Boynton, ۱۹۸۴). اثر تتراد توزیع REE در این شکل نشان داده شده است. الگوهای REE با خطچین به ۴ بخش رده‌بندی شده‌اند: (۱) بخش میان La و Nd؛ (۲) بخش میان Pm و Gd؛ (۳) بخش میان Ho و Lu؛ (۴) بخش میان Er و Lu.

عناصر کمیاب با بار و شعاع یونی همسان معمولاً رفتارهای ژئوشیمیایی همانندی نیز نشان می‌دهند. تفاوت در شعاع یونی در پی انقباض ترازهای الکترونی $5s$ و $5p$ (با افزایش عدد اتمی) و حالت‌های گوناگون ظرفیت است؛ اما اثر تتراد که در رفتار عناصر کمیاب دیده می‌شود به شعاع و بار یونی بستگی ندارد؛ بلکه به وضعیت الکترونی وابسته است.

هدف از این پژوهش، شناسایی اثر تتراد لانتانیدها در گرانیت‌وییدهای توده نفوذی الوند، و بررسی آنومالی Ce و Eu در هنگام جدایش ماقمای گرانیتی است.

زمین‌شناسی منطقه

توده نفوذی الوند در جنوب و غرب همدان (میان شهرهای همدان و تویسرکان) و در پهنه سنندج-سیرجان جای دارد. با گستردگی نزدیک به ۴۰۰ کیلومتر مربع (۴۰ کیلومتر طول و ۱۰ کیلومتر عرض) رخنمون یافته است. این توده آذرین در میان عرض‌های جغرافیایی 34° تا 35° شمالی و طول‌های



شکل ۲ - (A) نقشه سنگ‌شناسی ایران (Ghasemi and Talbot, 2006)؛ (B) نقشه زمین‌شناسی توده نفوذی الوند همدان (با تغییراتی پس از Amidi and Majidi, 1997).

بخش‌های هوازده با دقت جدا شدند. نمونه‌ها پس از پودرشدن در آزمایشگاه دانشگاه بولی‌سینا، برای تجزیه شیمیایی عناصر اصلی و اندازه‌گیری مقدار عناصر کمیاب به آزمایشگاه ALS Chemex در ونکوور کانادا فرستاده شدند. عناصر اصلی، فرعی و خاکی نادر ۵۲ عنصر هستند. برای شناسایی عناصر اصلی از روش‌های ذوب لیتیم‌متاپورات و ICP-MS و برای شناسایی عناصر فرعی از روش‌های ذوب لیتیم‌متاپورات و ICP-OES بهره گرفته شد (جدول‌های ۱ و ۲).

روش انجام پژوهش

برای بررسی ویژگی‌های سنگنگاری گرانیتوویدهای منطقه، ۳۰ نمونه برای تهیه مقطع نازک برگزیده و با میکروسکوپ قطبشی بررسی شدند. برای بررسی ویژگی‌های زمین‌شیمیایی این گرانیتها، ۱۶ نمونه از سنگ‌های سالم که کمترین هوازدگی و دگرسانی را نشان می‌دادند، برگزیده شده و پیش از خردکردن سنگ

جدول ۱ - داده‌های برگزیده تجزیه شیمیایی نمونه‌های توده نفوذی گرانیتی الوند همدان و مقایسه آنها با ترکیب شیمیایی میانگین شیل‌های پس از آرکئن (PAAS) (McLennan et al., 1983) (مقدار عناصر اصلی به صورت درصد وزنی و عناصر فرعی به صورت ppm است. آهن کل به صورت Fe_2O_3 به دست آمده است. L.O.I. مقدار آب ازدست‌رفته در دمای 1100°C است).

Sample No.	A.S5.G3	A.S7.G10	A.S9.G6	A.S11.G4	A.S11.G9	A.S11.G10	A.S11.G11	A.S11.G15	PAAS
Rock Type	Monzogranite	Syenogranite	Syenogranite	Syenogranite	Monzogranite	Monzogranite	Granodiorite	Granodiorite	
SiO_2	61.4	74.0	74.3	73.4	65.4	75.3	64.5	66.5	62.40
Al_2O_3	17.05	12.55	13.40	14.30	15.80	13.10	16.60	15.90	18.78
$\text{Fe}_2\text{O}_3^{*}$	6.80	1.46	1.76	1.26	5.55	0.54	5.41	5.63	7.18
CaO	2.96	0.32	0.40	0.77	2.31	1.11	2.87	1.75	1.29
MgO	1.79	0.22	0.09	0.13	1.21	0.11	1.26	1.24	2.19
Na_2O	2.58	2.11	2.82	2.12	2.91	3.67	3.02	2.53	1.19
K_2O	3.76	6.90	6.07	7.32	4.66	4.98	4.92	4.08	3.68
Cr_2O_3	0.12	0.06	0.10	0.08	0.09	0.12	0.07	0.07	—
TiO_2	0.91	0.14	0.03	0.07	0.76	0.03	0.87	0.70	0.99
MnO	0.12	0.02	0.16	0.12	0.08	0.01	0.07	0.10	—
P_2O_5	0.17	0.17	0.17	0.17	0.22	0.03	0.23	0.23	0.16
SrO	0.02	<0.01	<0.01	0.01	0.02	<0.01	0.02	0.02	—
BaO	0.07	0.01	<0.01	0.04	0.05	<0.01	0.04	0.04	—
L.O.I.	1.40	2.09	0.49	0.10	0.59	0.40	0.49	0.59	—
Total	99.4	100.0	99.8	99.9	99.7	99.4	100.5	99.4	97.86
Ag	<1	<1	<1	<1	<1	<1	<1	<1	—
Ba	512	99.0	36.1	279	445	9.8	402	390	650
Ce	102.5	19.1	7.6	7.0	103.0	23.2	115.5	92.7	79.60
Co	13.2	1.9	1.6	1.7	10.4	<0.5	10.6	11.8	23
Cr	690	360	590	510	640	820	450	480	110
Cs	5.95	7.12	5.86	2.63	9.35	21.1	8.77	14.0	—
Cu	14	6	9	<5	9	<5	7	15	50
Dy	5.84	2.58	2.42	1.26	6.12	8.37	16.85	5.81	4.68
Er	3.65	1.21	1.56	1.08	3.33	5.96	12.05	3.41	2.85
Eu	1.34	0.36	0.11	0.16	1.43	0.17	1.93	1.28	1.08
Ga	20.8	13.2	18.0	12.4	22.3	17.5	24.2	22.9	—
Gd	7.87	2.21	1.22	0.74	8.76	5.11	14.55	7.58	4.66
Hf	7.8	1.9	1.8	0.8	7.6	3.4	7.2	6.7	5.0
Ho	1.09	0.43	0.44	0.27	0.99	1.90	4.01	1.19	0.99
La	50.6	9.3	3.4	3.8	48.5	10.7	54.4	45.0	38.20
Lu	0.51	0.11	0.27	0.26	0.42	0.87	1.34	0.46	0.43
Mo	<2	<2	<2	<2	<2	<2	<2	<2	—
Nb	21.8	6.8	3.4	2.1	22.0	10.3	27.9	24.0	1.90
Nd	43.0	7.9	3.4	2.8	44.0	11.1	51.1	40.2	33.90
Pb	32	35	28	52	33	39	29	24	55
Pr	11.80	2.23	0.96	0.77	11.95	2.91	13.60	10.70	20
Rb	110.5	201	215	187.5	201	248	188.0	204	8.83
Sm	8.01	1.95	1.10	0.63	8.53	3.71	12.40	7.84	160
Sn	2	5	9	4	4	5	5	5	5.55
Sr	155.0	44.4	18.6	124.5	150.0	19.8	183.5	138.5	—
Ta	1.5	0.6	0.6	0.9	1.5	1.2	1.6	1.9	200
Tb	1.04	0.41	0.32	0.16	1.25	1.16	2.71	1.16	—
Th	22.1	6.21	5.65	1.02	25.4	14.15	30.9	19.90	0.77
Tl	<0.5	<0.5	<0.5	0.5	<0.5	<0.5	<0.5	<0.5	14.60
Tm	0.48	0.15	0.25	0.20	0.47	0.97	1.60	0.45	—
U	1.70	1.06	3.97	1.16	1.75	5.13	2.80	2.90	0.41
V	83	<5	<5	<5	61	<5	75	76	3.10
W	1	3	3	2	2	1	3	3	150
Y	27.6	12.0	12.6	7.5	32.0	54.4	112.5	32.0	—
Yb	3.52	0.92	2.07	1.70	2.87	6.27	9.31	3.12	—
Zn	83	21	14	16	68	5	75	88	2.82
Zr	283	57	34	19	298	51	278	268	85

جدول ۱- ادامه.

Sample No.	A.S12.G4	A.S12.G11	A.S12.G15	A.S12.G16	A.S12.G17	A.S12.G18	A.S12.G25	A.S12.G3	
Rock-type	Monzogranite	Monzogranite	Monzogranite	Granodiorite	Granite	Granite	Syenogranite	Granodiorite	PAAS
SiO ₂	74.6	52.0	56.1	61.1	74.5	73.0	71.8	64.0	62.40
Al ₂ O ₃	13.30	19.55	18.70	17.55	13.25	14.40	13.45	16.20	18.78
Fe ₂ O ₃ ^T	1.57	9.61	6.72	6.38	0.87	1.47	3.07	5.26	7.18
CaO	1.22	5.21	4.66	2.08	0.60	1.40	1.50	3.08	1.29
MgO	0.42	3.12	2.29	1.76	0.14	0.33	0.64	1.86	2.19
Na ₂ O	2.69	4.48	4.21	3.18	3.91	3.91	3.52	3.21	1.19
K ₂ O	5.36	3.58	4.40	4.58	4.71	4.56	4.24	4.38	3.68
Cr ₂ O ₃	0.15	0.02	0.02	0.04	0.07	0.08	0.06	0.06	-
TiO ₂	0.18	1.46	1.23	0.81	0.09	0.19	0.28	0.77	0.99
MnO	0.03	0.19	0.13	0.12	0.02	0.03	0.08	0.09	-
P ₂ O ₅	0.05	0.68	0.61	0.35	0.05	0.07	0.11	0.32	0.16
SrO	0.02	0.05	0.08	0.02	0.01	0.03	0.02	0.02	-
BaO	0.08	0.09	0.19	0.08	0.04	0.08	0.03	0.06	-
L.O.I.	0.38	0.00	0.10	0.88	0.47	0.20	0.40	0.29	-
Total	100.0	100.0	99.4	98.9	98.7	99.8	99.2	99.6	97.86
Ag	<1	<1	<1	<1	<1	<1	<1	<1	-
Ba	667	765	1745	729	387	706	297	554	650
Ce	115.5	128.0	160.5	135.0	103.5	205	121.0	68.3	79.60
Co	2.9	19.9	13.5	13.7	0.9	2.2	3.5	12.3	23
Cr	1020	140	140	300	480	550	420	410	110
Cs	6.63	5.44	4.74	10.10	3.43	4.47	5.83	7.18	-
Cu	<5	18	11	18	<5	<5	<5	10	50
Dy	2.10	6.08	5.07	5.56	6.99	4.00	5.46	5.16	4.68
Er	1.23	3.64	3.08	3.42	5.33	2.92	3.33	3.10	2.85
Eu	0.81	1.75	2.14	1.54	0.65	1.04	0.69	1.35	1.08
Ga	14.2	22.4	19.1	22.6	19.4	16.9	16.8	21.2	-
Gd	4.57	8.37	8.23	8.14	6.83	7.24	6.75	5.99	4.66
Hf	5.4	4.4	5.7	7.9	7.9	7.7	5.1	5.9	5.0
Ho	0.39	1.27	1.04	1.17	1.57	0.87	1.08	1.11	0.99
La	69.1	67.8	92.7	72.8	58.5	125.5	69.9	34.4	38.20
Lu	0.23	0.52	0.45	0.50	1.06	0.56	0.49	0.40	0.43
Mo	<2	<2	<2	<2	<2	<2	<2	<2	-
Nb	15.5	105.5	102.0	71.0	134.5	70.1	58.4	41.6	1.90
Nd	33.7	5.0	56.0	49.0	32.7	54.0	37.6	28.4	33.90
Pb	7	9	10	27	<5	<5	7	21	55
Pr	27	14.30	16.65	14.20	13	12	13	7.67	20
Rb	11.20	160.5	152.5	193.5	10.50	19.40	12.30	149.0	8.83
Sm	148.0	8.60	8.65	8.03	162.5	154.5	174.0	5.86	160
Sn	4.71	3	2	2	6.42	7.00	6.64	2	5.55
Sr	3	418	650	245	1	1	2	237	-
Ta	151.0	6.9	6.9	5.0	133.5	265	142.0	2.9	200
Tb	2.3	1.20	1.08	1.10	22.6	10.9	4.3	0.96	-
Th	0.50	14.30	21.3	26.2	1.17	0.85	0.95	14.50	0.77
Tl	43.7	<0.5	<0.5	<0.5	60.1	78.8	47.3	<0.5	14.60
Tm	<0.5	0.54	0.43	0.51	<0.5	<0.5	<0.5	0.42	-
U	0.18	2.48	4.89	4.26	0.95	0.49	0.49	2.93	0.41
V	2.74	168	133	108	23.7	16.95	4.64	95	3.10
W	7	2	2	6	<5	<5	24	2	150
Y	1	32.7	27.5	30.0	4	2	2	29.2	-
Yb	10.9	3.51	2.94	3.41	44.0	22.5	28.5	2.85	-
Zn	1.40	112	78	99	7.04	3.52	3.14	70	2.82
Zr	20	193	264	350	24	22	32	243	85

جدول ۲ نسبت‌های TE_{1,3}, t₁, t₃, Zr/Hf, Y/Ho, Eu/Eu*, Sr/Eu, K/Rb, Na/K, A/CNK در توده نفوذی گرانیتی الوند همدان.

Sample No.	A/CNK	Na/K	K/Rb	Eu/Eu*	Sr/Eu	Y/Ho	Zr/Hf	t ₁	t ₃	TE _{1,3}
A.S5.G3	1.83	0.61	282	0.52	115.7	25.3	36.3	1.02	0.93	0.975
A.S7.G10	1.34	0.27	285	0.53	123.3	27.9	30	1.04	1.16	1.103
A.S9.G6	1.44	0.41	235	0.29	169.1	28.63	18.9	1.09	1.32	1.202
A.S11.G4	1.4	0.26	324	0.72	1245	27.7	23.75	0.97	1.10	1.041
A.S11.G9	1.6	0.56	192	0.51	104.9	32.3	39.2	1.04	1.03	1.039
A.S11.G10	1.34	0.45	167	0.12	116.5	28.63	15	1.03	1.10	1.069
A.S11.G11	1.53	0.55	217	0.44	95.07	28.05	38.6	1.03	0.97	1.004
A.S11.G15	1.64	0.55	166	0.51	108.2	26.9	40	1.01	0.95	0.985
A.S12.G3	1.52	0.65	244	0.70	175.5	26.3	41.2	1.005	0.95	0.98
A.S12.G4	1.43	0.31	300	0.53	186.4	27.94	34.8	1.02	0.84	0.9313
A.S12.G11	1.47	1.09	185	0.63	238.9	25.7	43.9	1.01	0.92	0.96
A.S12.G15	1.41	0.85	240	0.78	303.74	26.4	46.3	0.98	0.88	0.93
A.S12.G16	1.78	0.62	196	0.58	160	25.64	44.30	1.006	0.88	0.94
A.S12.G17	1.43	0.74	240	0.3	205.4	28.02	23.16	1.03	0.96	0.9990
A.S12.G18	1.46	0.52	245	0.45	255	25.9	27.01	1.05	0.81	0.9237
A.S12.G25	1.45	0.74	202	0.32	206	26.4	33.9	1.03	0.93	0.9810

A/CNK= Al₂O₃/(CaO+Na₂O+K₂O)

Eu/Eu*=Eu_N/(Sm_N×Gd_N)^{1/2}

Ce/Ce'=Ce_N/(La_N^{2/3} × Nd_N^{1/3}), Pr/Pr'=Pr_N/(La_N^{1/3} × Nd_N^{2/3}), Tb/Tb'=Tb_N/(Gd_N^{2/3} × Ho_N^{1/3}), Dy/Dy'=Dy_N/(Gd_N^{1/3} × Ho_N^{2/3}).

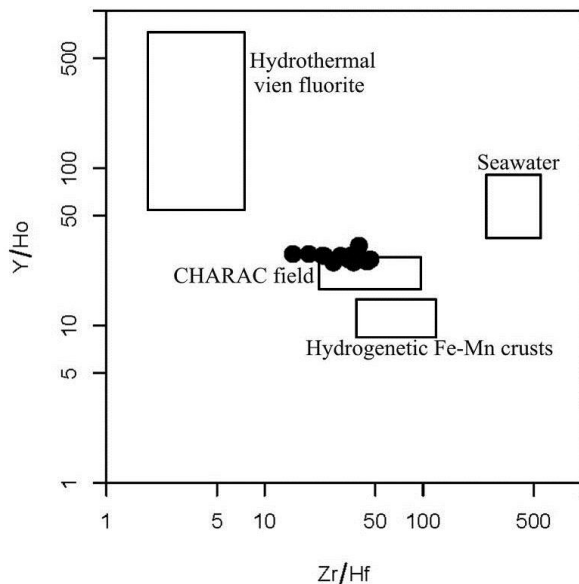
t₁=(Ce/Ce'×Pr/Pr')^{0.5}, t₃=(Tb/Tb'×Dy/Dy')^{0.5}
Degree of the tetrad effect = TE_{1,3} = (t₁ × t₃)^{0.5}

بحث
مفهوم اثر تتراد
پیش از بررسی داده‌های تجزیه شیمیایی گرانیت‌های الوند، درباره اثر تتراد REE توضیح کوتاهی داده می‌شود. اثر تتراد در سنگ‌های ماقمایی بسیار جدایش‌یافته و غنی از عناصری مانند Cl, F, Li, P و H₂O پدید می‌آید (Bau, 1996; Irber *et al.*, 1997). چنین رفتاری اهمیت افزایش سیال در مراحل پایانی تبلور گرانیت را نشان می‌دهد (Bau, 1996; Irber, 1999). از این‌رو، عناصر خاکی کمیاب که اوربیتال‌های 4f پر شده دارند، می‌توانند از عناصر کمیاب دیگر جدا شوند. اثر تتراد در سنگ‌های ماقمایی و هم در نهشته‌های پدیدآمده از سیال‌های گرمایی دیده می‌شود (Masuda and Ikeuchi, 1978; Masuda and Akagi, 1990; Akagi *et al.*, 1993, 1996; Lee *et al.*, 1994; Kawabe, 1995; Bau 1996). به تازگی بیشتر بررسی‌ها درباره اثر تتراد بر روی سنگ‌های آذرین بسیار تحول‌یافته متمرکز شده است (Bau, 1996,

همان‌گونه که گفته شد، بر پایه بررسی‌های تئوری Masuda و همکاران (۱۹۸۷)، اثر تتراد دو نوع است:

همان‌گونه که گفته شد، بر پایه بررسی‌های تئوری Masuda و همکاران (۱۹۸۷)، اثر تتراد دو نوع است:

الگوهای REE گرانیت‌وییدهای الوند (بهنجار شده در برابر ترکیب کندریت) از La تا Lu کاهش نشان می‌دهند؛ به‌ویژه الگوی عنصر Eu که آنومالی منفی نشان می‌دهد. نسبت $^{*}\text{Eu/Eu}$ در نمونه‌های الوند (۰/۱۴ ppm) برای گرانیت‌ها و ۰/۰۴ ppm (میانگین = ۰/۰۳۷ ppm) برای گرانودیوریت‌هاست. ترسیم نسبت Y/Ho در برابر نسبت Zr/Hf (Bau, 1996) شکل (۳) نشان می‌دهد گرانیت‌وییدهای الوند چه‌بسا دچار واکنش میان آب و سیال دما بالا شده باشند.



شکل (۳)- ترسیم نسبت Y/Ho در برابر Zr/Hf برای خاستگاه مواد آلاینده. نمونه‌های الوند همدان در بخش واکنش میان آب و سیال دما بالا جای گرفته‌اند.

در شکل‌های ۴-۶، نسبت $^{*}\text{Eu/Eu}$ با Sr/Eu , Zr/Hf , K/Rb و Y/Ho در الگوهای REE بهنجار شده در برابر ترکیب کندریت در پی جدایش ماقمایی (جدایش میان مذاب به جامانده و یک سیال دمابالا در هنگام جدایش ماقمایی) روی داده است.

(۱) W-type که در رسوب‌های پدیدآمده از واکنش سیال‌ها (عصاره) دیده می‌شود؛
(۲) M-type که در گرانیت‌های جدایش‌یافته در مرحله‌های پایانی (نمونه‌های جامد به جامانده) دیده می‌شود.

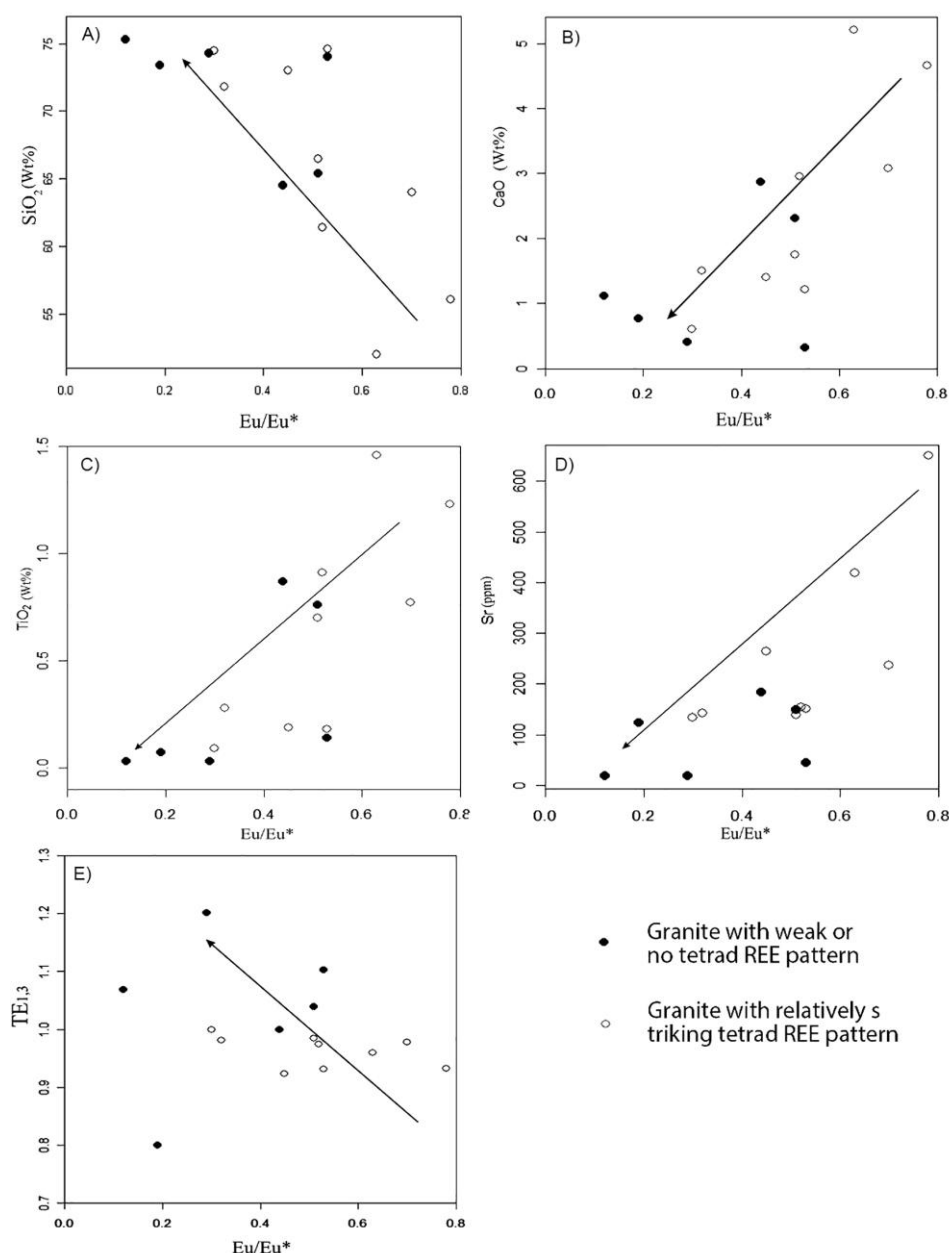
در الگوهای REE، شکل‌های W-type و M-type به ترتیب کمان تتراد به‌سوی پایین (کوژ) و بالا (کاو) را نشان می‌دهند. در گرانیت‌های بسیار تحول‌یافته، تنها نوع M دیده شده است.

برای به‌دست‌آوردن اثر تتراد، الگوهای REE گوناگونی برگزیده می‌شوند تا دقیق‌تر کم تجزیه‌های شیمیایی، الگوی زیگزاگ آنومالی Ce را در پی نداشته باشد. از چهار تتراد نام برده شده، تنها تتراد اول و سوم برای کمی‌سازی اثر تتراد به کار برده می‌شوند؛ اما تتراد دوم (Pm-Gd) در پی حذف طبیعی Pm و رفتار ویژه Eu^{2+} (در فوگاسیته کم اکسیژن و در سیستم‌های ماگمایی دما بالا)، و تتراد چهارم (Eu-Lu) به علت گسترش کم اندازه‌گیری نمی‌شوند.

ترسیم اثر تتراد در برابر نسبت‌های $\text{Eu}^{*}/\text{Sr}/\text{Eu}$, Zr/Hf , Y/Ho , K/Rb ، فرمول ریاضی ساده‌ای برای ارزیابی اثر تتراد و وابستگی اثر تتراد به پارامترهای زمین‌شیمیایی مانند نسبت‌های Zr/Hf , Y/Ho , K/Rb و Sr/Eu پیشنهاد شده است. به‌ویژه نسبت‌های Eu^{*}/Eu که نشان‌دهنده پهنه‌های انتقالی ماگمایی-گرمایی هستند. توزیع عناصر بر پایه بار و شعاع یونی، به تغییرهای ترکیب مذاب در هنگام جدایش ماگمایی حساس است (Bau, 1997, 1996)، از این‌رو، برای شناسایی فرایندهای پایه‌ای در رفتار عناصر کمیاب از نسبت‌های Eu^{*}/Eu , Sr/Eu , Zr/Hf , Y/Ho , K/Rb در برابر اثر تتراد بهره گرفته می‌شود.

همچنین، برپایه پیشنهاد Cotton و همکاران (۱۹۹۳) آنومالی منفی Ce در سنگ‌های آذرین می‌تواند پیامد فرایندهای سوپرژن پس از فرایند ماقمایی باشد. آنومالی Ce در برخی نمونه‌های الوند، به صورت یک فرایند ثانویه تفسیر شده است و بازگوکننده شرایط اکسیدان پس از جایگیری است.

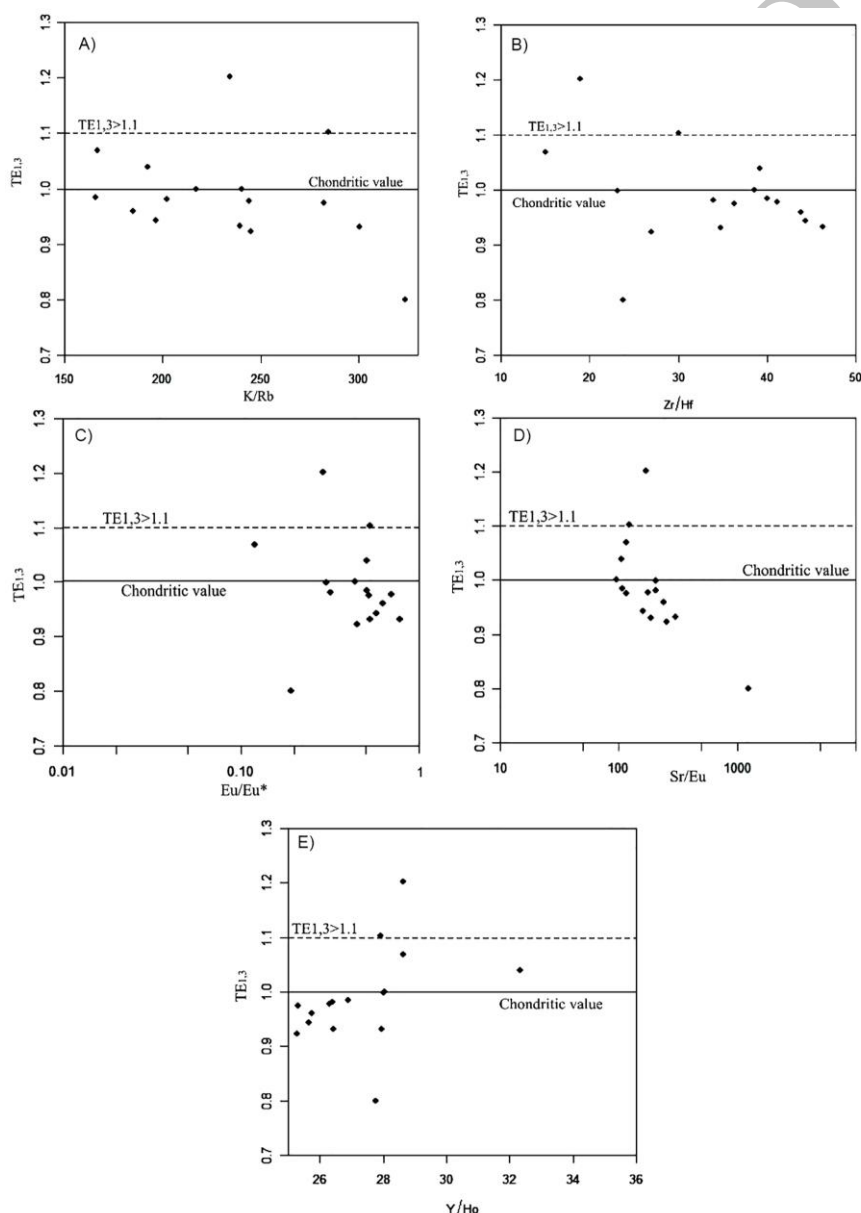
برخی نمونه‌ها آشکارا آنومالی منفی Ce نشان می‌دهند (شکل ۱). سنگ‌های آذرین سالم با خاستگاه‌هایی که پیش از این در نزدیکی سطح بوده‌اند آنومالی Ce نشان می‌دهند (Meen, 1990). آنومالی Ce می‌تواند در شرایط اکسیدان (در سطح یا نزدیک سطح) پدید آمده باشد (Class and le Roex, 2008).



شکل ۴- نسبت Eu/Eu^* در برابر SiO_2 , TiO_2 , Sr و $\text{TE}_{1,3}$ در توده نفوذی گرانیتی الوند همدان. نشانه پیکان روند جدایش ماقمایی را نشان می‌دهد.

گرانیت‌های بررسی شده، نسبت K/Rb برابر ۱۶۵ تا ۳۲۰ بوده و میانگین آن ۲۴۳ است. اثر تتراد رابطه منفی با نسبت K/Rb نشان می‌دهد (شکل ۵-۵؛ ازین‌رو، نمونه‌های جدایش یافته مقدار تتراد بیشتری دارند. نمونه‌های با نسبت K/Rb < ۲۵۰ اثرات تتراد مهمی نشان می‌دهند (TE_{1,3} > ۱). بررسی‌های سنگ‌نگاری مقطع‌های نازک این سنگ‌ها بازگوکننده افزایش دگرسانی بیوتیت، پتاسیم‌فلدسبار و پلاژیوکلаз است.

نمودار K/Rb-TE_{1,3}: نسبت K/Rb کندریتی برپایه Grevessem و Anders (۱۹۸۹) برابر ۲۴۲ است، و در بیشتر سنگ‌های پوسته‌ای این نسبت ۱۵۰-۳۵۰ گزارش شده است (Taylor, 1965). با افزایش درجه جدایش، Rb بیشتر وارد مذاب به جامانده شده و نسبت K/Rb در سیستم‌های ماگمایی بسیار تحول یافته کاهش می‌یابد (Irber, 1999). نسبت K/Rb عموماً برای شناسایی تحول مذاب گرانیتی به کار برده می‌شود. در



شکل ۵- نمودارهای اثر تتراد (TE_{1,3}) در برابر: (A) نسبت K/Rb؛ (B) نسبت Zr/Hf؛ (C) نسبت Eu/Eu؛ (D) نسبت Sr/Eu؛ (E) نسبت Y/Ho مربوط به نمونه‌های گرانیتی الوند. خط پر رنگ، مقدارهای کندریتی و خطچین، اثر تتراد بیش از ۱/۱ را نشان می‌دهد.

پس نمونه‌های بسیار جدایش یافته، مقدار تتراد بالاتری دارند. در پی کاهش غلظت Eu، نسبت Sr/Eu افزایش می‌یابد و از REE هم‌جوار پیروی نمی‌کند. این رفتار ناهمانگ پیامد آنومالی منفی Eu یا نسبت $^{*}\text{Eu/Eu}$ کمتر از ۱ است.

نمودار Y/Ho-TE_{1,3}: نسبت Y/Ho در ترکیب گرانیت برابر ۲۸ است (Pan, 1996) و این نسبت در گرانیت‌های بررسی شده برابر ۲۵ تا ۳۲ است (میانگین ۲۸/۵). جدایش Y/Ho به هنگام جدایش گرانیت افزایش می‌یابد (شکل ۵-E). این نسبت ابزاری برای شناسایی رفتار عناصر فرعی ماقمایی است، که اندازه آنها که با شعاع و باریونی کنترل نمی‌شود، مانند آنچه که در سیستم‌های آبدار دیده می‌شود (Irber, 1999). در یون‌های بسیار باردار که کمپلکس‌های قوی شیمیایی را می‌سازند، چگونگی فرایند جدایش به وضعیت الکترون‌ها و پیوندهای شیمیایی میان یک یون مرکزی و یک لیگاند (مانند: CO₂, H₂O, F و Cl) بستگی دارد (Bau, 1996).

نتیجه‌گیری

بر پایه مفهوم اثر تتراد (TE_{1,3}), می‌توان اثر تتراد را در برابر پارامترهای ژئوشیمیایی نمایش داد. این پارامترها از پارامترهای حساس به جدایش مذاب گرانیتی و پهنه‌های انتقالی ماقمایی-گرمایی شناخته شده‌اند. وابستگی اثر تتراد به نسبت‌های Y/Ho, K/Rb, Zr/Hf, Eu/Eu^{*}, Eu/Eu/Sr, Eu/Eu/Zr و Eu/Eu^{*}، افزایش آرام اثر تتراد به هنگام جدایش گرانیت را نشان می‌دهد. در نمونه‌های گرانیتی جدایش یافته‌تر (در اینجا گرانیت‌های نوع S) اثر تتراد مهمی دیده می‌شود. در الگوهای REE گرانیت‌ویدهای توده نفوذی الوند، اثر تتراد M-شکل است. آنومالی منفی Eu در سنگ‌های بسیار جدایش یافته نشان‌دهنده آن است که جدایش Eu میان مذاب به جامانده و یک سیال آبدار دما بالا رخ داده است.

نمودار Zr/Hf-TE_{1,3}: در میان عناصر فرعی، عناصر Zr و Hf همانندترین رفتار زمین‌شیمیایی را دارند. در گرانیت‌های بررسی شده، نسبت Zr/Hf برابر ۱۵ تا ۴۶ (میانگین: ۳۱) است؛ این نسبت در ترکیب کندریت ۳۸ گزارش شده است (Anders and Grevessem, 1989). نسبت Zr/Hf با اثر تتراد یک رابطه منفی دارد و تنها در گرانیت‌های با نسبت Zr/Hf کمتر از ۲۵ اثرات تتراد مهمی دیده می‌شود (شکل ۵-B). با افزایش جدایش مذاب سیلیکاته نسبت‌های Zr/Hf به سوی مقدارهای کوچک‌تر تغییر می‌کند. گرانیت‌های با نسبت کمتر از ۲۰ دچار دگرسانی ماقمایی-گرمایی سختی شده‌اند (Dostal and Chatterjee, 2000).

نمودار Eu/Eu^{*}-TE_{1,3}: ترسیم نسبت $^{*}\text{Eu/Eu}$ در برابر اثر تتراد همخوانی منفی نشان می‌دهد (شکل ۵-C). همه نسبت‌های $^{*}\text{Eu/Eu}$ کمتر از ۰/۲ گویای گرانیت‌هایی با اثر تتراد شاخص (TE_{1,3}>1.10) هستند.

نمودار Sr/Eu-TE_{1,3}: نسبت Sr/Eu معمولاً برای توضیح جدایش ماقمایی به کار برده نمی‌شود؛ اما این زوج عناصر کمیاب رفتار ویژه‌ای در هنگام جدایش نشان می‌دهند و بازگوکننده اطلاعاتی درباره رفتار عناصر کمیاب هستند. نسبت Sr/Eu در این نمونه‌ها برابر ۹۵ تا ۳۰۰ است؛ اما بیشتر نسبت‌ها میان ۱۰۰ تا ۱۲۴۵ (میانگین: ۲۰۰؛ شکل ۵-D) هستند. این مقدار به ترکیب کندریت نزدیک است (Anders and Grevessem, 1989). در این سیستم گرانیتی، رفتار Sr و Eu کمابیش پیوسته است؛ هرچند Eu عنصری حساس به اندازه یونی است و برپایه فوگاسیته اکسیژن و دما شناخته می‌شود (Bau, 1991). ضریب توزیع مذاب/کانی برای Sr اندکی بیش از Eu است (Rollinson, 1993). عنصر Eu تا اندازه‌ای در مذاب به جامانده افزایش می‌یابد و در برابر Sr در هنگام جدایش گرانیتی غنی می‌شود (Sr/Eu نسبت کاهش نسبت).

منابع

- Akagi, T., Nakai, S., Shimiuzu, H. and Masuda, A. (1996) Constraints on the geochemical stage causing tetrads effect in kimuraite: comparative studies on kimuraite and its related rocks, from REE pattern and Nd isotope ratio. *Geochemical Journal* 30: 139–144.
- Akagi, T., Shabani, M. B. and Masuda, A. (1993) Lanthanide tetrads effect in kimuraite [$\text{CaY}_2(\text{CO}_3)_4 \times 6\text{H}_2\text{O}$]: Implication for a new geochemical index. *Geochimica et Cosmochimica Acta* 57: 2899–2905.
- Aliani, F., Maanijou, M., Sabouri, Z. and Sepahi, A. A. (2012) Petrology, geochemistry and geotectonic environment of the Alvand Intrusive Complex, Hamedan, Iran. *Chemie der Erde* 72: 363–383.
- Amidi, M. and Majidi, B. (1997) Explanatory Text of Hamadan Quadrangle Map Scale 1:250,000. Geological Survey of Iran, Tehran. Iran (in Persian).
- Anders, E. and Grevessem, N. (1989) Abundances of the elements: Meteoritic and solar. *Geochimica et Cosmochimica Acta* 53: 197–214.
- Bau, M. (1991) Rare-earth element mobility during hydrothermal and metamorphic fluid–rock interaction and the significance of the oxidation state of europium. *Chemical Geology* 93: 219–230.
- Bau, M. (1996) Controls on the fractionation of iso-ovalent trace elements in magmatic and aqueous systems: evidence from Y/Ho, Zr/Hf, and lanthanide tetrads effect. *Contributions to Mineralogy and Petrology* 123: 323–333.
- Bau, M. (1997) The lanthanide tetrads effect in highly evolved felsic igneous rocks- A reply to the comment by Y. Pan. *Contributions to Mineralogy and Petrology* 128: 409–412.
- Boynton, W. V. (1984) Cosmochemistry of the rare earth elements meteorite studies. In: *Rare Earth Element Geochemistry* (Ed., Henderson, P.) 63–114. Elsevier, Amsterdam.
- Class, C. and le Roex, A. (2008) Ce anomalies in Gough Island lavas – trace element characteristics of a recycled sediment component. *Earth and Planetary Science Letters* 265: 475–486.
- Cotton, J., Le Dez, A., Bau, M., Caroff, M., Maury, R. C., Dulski, P., Fourcade, S., Bohn, M. and Brousse, R. (1993) Origin of anomalous rare-earth element and yttrium enrichments in subaerially exposed basalts: evidence from French Polynesia. *Chemical Geology* 119: 115–138.
- Dostal, J. and Chatterjee, A. K. (2000) Contrasting behavior of Nb/Ta and Zr/Hf ratios in a peraluminous granitic pluton (Nova Scotia, Canada). *Chemical Geology* 163: 207–218.
- Fidelis, I. and Siekierski, S. (1966) The regularities in stability constants of some rare earth complexes. *Journal of Inorganic and Nuclear Chemistry* 28: 185–188.
- Ghasemi, A. and Talbot C. J. (2006) A new tectonic scenario for the Sanandaj–Sirjan Zone (Iran). *Journal of Asian Earth Science* 26: 683–693.
- Irber, W. (1999) The lanthanide tetrads effect and its correlation with K/Rb, Eu/Eu*, Sr/Eu, Y/Ho, and Zr/Hf of evolving peraluminous granite suites. *Geochimica et Cosmochimica Acta* 63: 489–508.
- Irber, W., Förster, H. J., Hecht, L., Möller, P. and Morteani, G. (1997) Experimental, geochemical, mineralogical and O-isotope constraints on the late-magmatic history of the Fichtelgebirge granites (Germany). *Geologische Rundschau* 86: 110–124.
- Kawabe, I. (1995) Tetrad effects and fine structures of REE abundance patterns of granitic and rhyolitic rocks: ICP-AES determinations of REE and Y in eight GSJ reference rocks. *Geochemical Journal* 29: 213–230.
- Lee, S. G., Masuda, A. and Kim, H. S., (1994) An early Proterozoic leuco-granitic gneiss with the REE tetrads phenomenon. *Chemical Geology* 114: 59–67.

- Masuda, A. and Akagi, T. (1990) Lanthanide tetrad effect observed in leuco-granites from China. *Geochemical Journal* 23: 245–253.
- Masuda, A. and Ikeuchi, Y. (1978) Lanthanide tetrad effect observed in marine environments. *Geochemical Journal* 13: 19–22.
- Masuda, A., Kawakami, O., Dohmoto, Y. and Takenaka, T., (1987) Lanthanide tetrad effects in nature: Two mutually opposite types, Wand M. *Geochemical Journal* 21: 119–124.
- McLennan, S. M., Taylor, S. R. and Eriksson, K. A. (1983) Geochemistry of Archean shales from the Pilbara Supergroup, Western Australia. *Geochimica et Cosmochimica Acta* 47(7): 1211–1222.
- Meen, J. K. (1990) Negative Ce anomalies in Archean amphibolites and Laramide granitoids, southwestern Montana, U.S.A. *Chemical Geology* 81: 191–207.
- Pan, Y. (1996) Controls on the fractionation of isovalent trace elements in magmatic and aqueous systems: evidence from Y/Ho, Zr/Hf, and lanthanide tetrad effect- A discussion of the article by Bau M. *Contribution to Mineralogy Petrology* 128: 405–408.
- Peppard, D. F., Maso, G. W. and Lewey, S. (1969) A tetrad effect in liquid-liquid extraction ordering of lanthanides (III). *Journal of Inorganic and Nuclear Chemistry* 31: 2271–2272.
- Rollinson, H. R. (1993) *Using Geochemical Data: Evaluation, Presentation, Interpretation*. Longman Scientific and Technical, London, England.
- Sabouri, Z. (2010) Study and systematic classification of the Alvand granites intrusion based on geochemical and mineralogical characteristics. M. Sc. Thesis, Bu-Ali Sina University, Hamedan, Iran (in Persian).
- Sepahi, A. A. (1999) Petrology of Alvand plutonic complex with special reference on Granitoids. Ph. D. Thesis, University for Teacher Education of Tehran, Iran (in Persian).
- Shahbazi, H., Siebel, W., Pourmoafee, M., Ghorbani, M., Sepahi, A. A., Shang, C. K. and Voussoughi Abedini, M. (2010) Geochemistry and U–Pb zircon geochronology of the Alvand plutonic complex in Sanandaj-Sirjan Zone (Iran): new evidence for Jurassic magmatism. *Journal of Asian Earth Sciences* 39: 668–683.
- Taylor, S. R. (1965) The application of trace element data to problems in petrology. *Physics and Chemistry of the Earth* 6: 133–213.
- Torkain, A. (1995) Study of the Alvand pegmatites (Hamedan) based on petrographical and petrological characteristics. M. Sc. Thesis, Tehran University, Iran (in Persian).
- Valizadeh, M. V. and Cantagrel, J. M. (1975) Premières données radiométriques (K-Ar et Rb-Sr) sur les micas du complexe magmatique du mont Alvand, près d Hamadan (Iran occidental). *Comptes Rendus I: Academic Science* 281: 1083–1086.